

# VHDL을 이용한 SIC의 기술과 시뮬레이션

## A study on the Description and Simulation of a SIC using a VHDL

박두열(Doo-Youl Park)<sup>1)</sup>

### 요 약

본 연구에서는 매사추세츠통과대학 마이크로전자 연구소에서 개발된 프로세서 PARWAN (PAR-1)으로 불리우는 줄여진 프로세서(a reduced processor)를 VHDL을 이용하여 Behavioral Level에서 기술하고 Dataflow Level에서 상호 연결하여 기술하였고, VHDL로 설계된 CPU의 동작을 확인하고 시뮬레이션하기 위하여 Test-bench 방식을 이용하였다.

#### < 중 략 >

제시된 방식은 설계의 정보교환이 용이하고 동작의 표현이 정확하고 간결하였으며, 설계의 문서화가 용이하며, 구성된 프로세서의 동작을 확인하기가 용이하였다. VHDL의 Behavioral 기술은 설계자에게 설계된 시스템을 확인할 때 많은 도움을 주었으며, Dataflow 기술은 설계의 버스연결과 레지스터 구조를 확인할 때 유용하게 사용할 수 있었다.

### Abstract

In this paper, we described the Parwan(PAR-1) CPU that be developed as a reduced processor at Messachusetts Microelectronics Center using a VHDL at the behavioral level and then described by connecting CPU components at the dataflow level. Finally, we used Test-bench method to simulate and verify execution of CPU processor that was designed using a VHDL

#### < 중 략 >

Here, Presented method was to enable information exchange of design and representation of operation were very exact and simple. Also, a documentation of design was available and it was easy that verify a operation of designed processor. The behavioral description of VHDL aids designer as we verify our understanding of the designed system, thus the dataflow description can be used to verify the bussing and register structure of the design.

논문 접수 : 2008. 10. 6.

심사 완료 : 2008. 10. 15.

1) 정회원 : 동주대학 컴퓨터 웹 정보과 교수

## 1. 서 론

### 1.1 SIC의 개요

본 연구의 시뮬레이션을 위해 사용되는 CPU는 메사추세츠통과대학 마이크로전자 연구소에서 개발된 프로세서로서 PARWAN (PAR-1)으로 불리우는 줄여진 프로세서(a reduced processor)이다. 이 PARWAN은 논리 설계를 하는 컴퓨터 공학도들에게 컴퓨터 하드웨어를 가르치기 위해 개발되었고, 간단한 하드웨어 요구와 간단한 명령어 세트(Simple Instructions Computer:SIC)의 컴퓨터를 이해시키는 데 적용되고 있다.

또한 그것은 MSI와 SSI들을 이용하여 디지털 시스템을 구현하는 목적으로 사용되며, VLSI와 같은 더 집적도가 높은 프로세서를 설계하는 한 단계 더 높은 시스템으로 사용되고 있으며, 이것은 표준 CAD도구를 사용하여 VLSI 칩으로 설계되었고 메사추세츠통과대학 마이크로전자연구소에서 실제로 기판으로 구현되었다.

특히 이것은 줄여진 아키텍처와 간단한 명령어 세트로 구성되었기 때문에 그것의 하드웨어를 상세하게 이해할 수 있었고 트랜지스터와 게이트들로 구성된 CPU의 연결상태와 내부 동작을 실제로 보며 이해할 수 있는 특징이 있다.

### 1.2 VHDL을 이용한 Description의 배경

CPU의 Processor와 Controller 등에 사용되는 디지털 IC 소자의 제작 기술이 집적도면에서나 성능면에서 그리고 다양성면에서 급속도로 발전되어 왔고, 응용면에서도 다양화됨에 따라 이를 이용하는 시스템의 성능과 스케일이 급격히 증가해 왔다. 반면에 이들 소자들의 제작시의 문제점으로 고려되고 있는 것은 다양화되고 복잡해지는 시스템의 추세에 부응하도록 하기 위한 IC 소자 또는 디지털 시스템의 설계가 매우 어려워지게 되었다는 것이다. 이와 같은 문제를 고려하여 칩을 설계하고 더불어 설계과정에서 부수적으로 수반되는 오류의 검출

및 설계비용 등의 문제를 해결하기 위해 다양한 하드웨어 기술언어들을 사용하여 시스템을 설계, 시뮬레이션 및 구현을 하게 되었다. 이를 위해 많이 사용되어 온 하드웨어 기술언어들은 CDL<sup>[1]</sup>, DDL<sup>[2]</sup>, HDL<sup>[3]</sup>, AHPL<sup>[4]</sup> 및 VHDL<sup>[5]</sup>들이 있다.

일반적으로, 점차 복잡해져 가는 IC 소자, 디지털 시스템 및 컴퓨터 설계를 Low-level에서 설계하기에는 무척 어렵게 되었으므로 고급의 프로그래밍 언어를 이용하듯이 게이트 레벨에서 시스템을 기술하고 설계하는 것이 아니라, 알고리즘 및 RTL 등과 같은 High-level에서 설계를 생성해내는 하향설계 방식을 이용하는 것이 요구되었고, 이렇게 함으로써 설계시간의 단축, 설계의 관리 및 재사용과 시뮬레이션 등이 쉽게 이루어지도록 하는 처리 및 과정이 필수적으로 요구되었다<sup>[6~8]</sup>.

따라서 본 연구에서는 여러 가지의 하드웨어를 기술하고, 시뮬레이션하고 구현하는 언어들 중에서 설계의 과정과 다양한 결과의 필수 조건을 만족하는 VHSIC (Very High Speed Integrated Circuits) 설계용 VHDL (VHSIC H/W Description Language)을 이용하였다.

이 VHDL은 하드웨어의 기술과 표현을 위한 목적으로 만들어진 하드웨어 기술 전용 언어로서 하드웨어의 설계, 설계된 하드웨어의 검증 및 확인하는 데 용이하고 시스템을 기술하는 데 있어서 일반적인 특징을 갖고 있을 뿐만 아니라 설계정보의 교환 및 보존 등의 향상된 여러 가지 용도로 사용될 수 있으며, 이것은 IEEE가 표준화함으로써 디지털 시스템 설계 관련 연구와 개발에 종사하는 개발자에게 매우 중요하게 사용되고 있다.

### 1.3 설계 및 시뮬레이션의 요건과 절차

본 논문에서는 이 VHDL을 이용하여 Parwan CPU<sup>[7]</sup>를 구성요소 별로 기술하여 연결하고, 완성된 시스템의 동작을 확인하기 위해 Test-bench 기법을 이용<sup>[8~10]</sup>하여 시뮬레이션하였다. 여기서 Parwan으로 알려진 CPU를

사용한 이유는 그 시스템이 간소화된 프로세서로서 논리회로를 설계하는 공학도에게 컴퓨터 하드웨어를 가르치는 데 사용되고 있고, 또한 그것은 Simple Instruction Set(SIC)를 채택하고 있으므로 아키텍처의 하드웨어를 상세하게 기술하기가 쉽고, 설계자가 논리소자를 이용하여 CPU 내부의 구성을 쉽게 할 수 있기 때문이다.

그에 따라 본 논문의 설계절차는 먼저 CP설계정보는 제시된 Parwan CPU에 대한 Dataflow 기U의 데이터 경로와 그것의 상세한 구조가 설계되고, 술을 개발하는 데 사용되도록 하며, 최종적으로는 Behavioral 모델이나 Dataflow 모델을 테스트하기 위해 Test-bench를 개발한다. 여기서 개발된 Test-bench를 이용한 시뮬레이션은 Parwan이 제대로 동작할 것인지를 시험하기 위해 설계된 컴퓨터에 입력 신호를 주면 출력이 원하는 과정과 결과가 절차에 따라 나오는지를 확인하고 시뮬레이션하는 도구로 사용된다.

본 연구에서 제시된 이 방식<sup>[8~11]</sup>은 일반적인 다른 HDL들을 이용하여 하드웨어를 기술할 때의 설계 및 시뮬레이션 특징을 갖고 있을 뿐만 아니라 정확하고 간단한 동작 확인이 가능하다는 이점과 VHDL이 자연언어에 비해 간결하고 규정된 형식이 있어서 설계된 Parwan CPU의 설계와 동시에 문서화하기가 편리하다는 이점을 제공해 줄 수 있을 것으로 보인다.

## 2. CPU의 메모리와 명령어

Parwan CPU는 데이터를 처리하는 레지스터와 버스 크기가 8비트이기 때문에 8비트의 외부 데이터 버스와 데이터를 저장하고 이동시키는 12비트의 메모리와 번지버스를 가지며, 논리 및 산술연산을 수행하는 ALU에서는 간단한 기본 연산만이 가능하고, 그것은 몇 개의 점프와 분기 명령과 직접 및 간접 번지지정 방식을 갖고 있으며, 역시 그 CPU는 동작을 리셋하는 입력 인터럽트와 명령을 호출하는 간단한 서브루틴을 갖고 있다.

### 2.1 메모리의 구성

이 CPU에 메모리는 12-bit 번지 버스로 구성되기 때문에 4096( $2^{12}$ )바이트의 메모리 번지 지정이 가능하고, 이 메모리는 256( $2^8$ )바이트로 구성된 16( $2^4$ )개의 페이지로 구분된다. 이것은 <Fig.1>에서 보여주듯이 번지 버스의 상위 4비트는 번지의 페이지를 구분하고, 하위 8비트는 오프셋을 지정하고 있다. 여기서 페이지와 오프셋은 콤마(,)로 구분하고, 16개 페이지의 메모리 페이지에 4K 바이트로 처리되며, 페이지 교차는 자동적으로 수행된다. 메모리는 I/O 장치의 상호통신을 위해서도 사용되며, 페이지 교차는 자동적으로 처리된다.

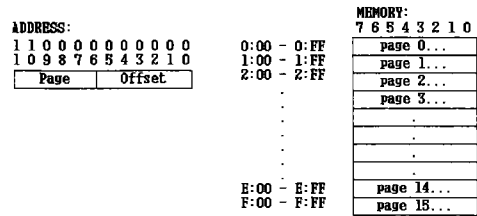


그림.1 Parwan번지의 오프셋부의 페이지징  
Fig.1 Paging of offset parts of Parwan address

### 2.2 명령어 세트의 구성

CPU의 명령어 세트는 3개의 명령어 형태를 갖는 17개로 구성된다. Accumulator(AC)는 CPU의 데이터 레지스터로서 튜모는 명령어와 데이터 처리를 하는 데 사용되며 V, C, Z와 N 등의 상태 플래그를 갖는 상태 레지스터가 있다. 이 플래그들은 주어진 지점적인 플래그 명령어나 AC를 변경시키는 명령어들에 의해 그 값이 변형된다.

<Table.1>에서는 사용되는 각각의 명령어들의 동작과 번지의 비트 수에 따라 각각 Full-address 명령어, Page-address 및 Zero번지 명령어를 설명하고, 간접 및 직접 번지지정 방식을 설명하고 있다. 또한 각각의 명령어 실행결과에 따른 플래그들의 변화를 설명하고 있다.

표.1 Parwan 명령의 설명

Table.1 Summary of Parwan instructions

명령어 기호	간략한 기술	번지지정			플래그	
		Bit	Scheme	간접	use	set
LDA loc	Load AC w/(loc)	12	FULL	YES	-	--zn
AND loc	AND AC w/(loc)	12	FULL	YES	-	--zn
ADD loc	Add (loc) to AC	12	FULL	YES	-	vczn
SUB loc	Sub (loc) from AC	12	FULL	YES	c	---
JMP adr	Jump to adr	12	FULL	YES	-	----
STA loc	Store AC in loc	12	FULL	YES	-	----
JSR tos	Subroutine to tos	12	PAGE	NO	-	----
BRA_V adr	Branch to adr if V	8	PAGE	NO	v	----
BRA_C adr	Branch to adr if C	8	PAGE	NO	c	----
BRA_Z adr	Branch to adr if Z	8	PAGE	NO	z	----
BRA_N adr	Branch to adr if N	8	PAGE	NO	n	----
NOP	No operation	8	NONE	NO	-	----
CLA	Clear AC	-	NONE	NO	-	----
CMA	Complement AC	-	NONE	NO	c	--zn
CMC	Complement carry	-	NONE	NO	-	-c-
ASL	Arith shift left	-	NONE	NO	-	vczn
ASR	Arith shift right	-	NONE	NO	-	--zn

2.3 명령어 서식

여기서 각각의 명령들은 3개의 그룹으로 분류된다. 첫째, 2바이트의 Full-Address 명령은 실행시에 메모리를 액세스하며, 간접번지지정 방식을 갖고 있다. 둘째, 2바이트를 갖는 페이지 번지지정 명령은 현재 페이지를 액세스할 수 있으나, 간접번지 지정방식에서는 사용될 수는 없다. 세번째 그룹은 무번지 명령이며, 메모리를 오퍼란드로 사용하지 않는다. <Table.2>에서는 각 명령의 Opcode와 3개 그룹명령에 대한 서식을 보여준다.

표.2 Parwan 명령의 동작코드  
Table.2 Parwan instruction opcodes

명령어 기호	필드와 비트		
	Opcode 7 6 5	D/I 4	Bits 3 2 1 0
LDA loc	0 0 0	0/1	page adr
AND loc	0 0 1	0/1	page adr
ADD loc	0 1 0	0/1	page adr
SUB loc	0 1 1	0/1	page adr
JMP adr	1 0 0	0/1	page adr
STA loc	1 0 1	0/1	page adr
JSR tos	1 1 0	-	- - -
BRA_V adr	1 1 1	1	1 0 0 0
BRA_C adr	1 1 1	1	0 1 0 0
BRA_Z adr	1 1 1	1	0 0 1 0
BRA_N adr	1 1 1	1	0 0 0 1
NOP	1 1 1	0	0 0 0 0
CLA	1 1 1	0	0 0 0 1
CMA	1 1 1	0	0 0 1 0
CMC	1 1 1	0	0 1 0 0
ASL	1 1 1	0	1 0 0 0
ASR	1 1 1	0	1 0 0 1

2.3.1 Full-Address 명령

Full-Address 명령의 동작을 규정하는 Opcode는 첫 바이트의 상위 3비트로 서식화된다. 4번 비트는 직접 및 간접번지 지정방식을 규정하고 나머지 4비트는 명령의 오퍼란드의 페이지 번호를 나타낸다. Full-Address 명령의 두 번째 바이트는 페이지 번지와 함께 오퍼란드의 번지를 표시하는 옵션트 번지를 규정한다.

2.3.2 페이지 번지 명령

<Fig.2>는 JSR과 분기명령에 대한 서식을 보여준다. 이 명령들은 명령들이 나타나는 페이지 내에서의 메모리를 참조한다. JSR의 Opcode는 '110'이고, 첫 번째 바이트의 나머지 5비트는 무시된다. 분기명령의 Opcode는 '111'이다. 비트 4는 항상 '1'이고, 최하위 비트는 분기조건을 규정한다. JSR과 분기의 두 번째 바이트는 현재의 페이지에서 점프할 번지를 지정한다.

JSR의 실행 후에 돌아올 번지(메모리에서 JSR의 다음에 오는 명령의 번지)는 서브루틴의 첫 번째 위치로 바뀐다. 간접 점프는 서브루틴 호출번지로 돌아오도록 프로그램 흐름이 이루어지게 한다.

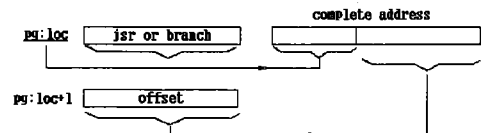


그림.2 page address 명령의 번지지정  
Fig.2 Addressing in page address instructions

2.3.3 무번지 명령

무번지 명령들은 <Table.2>에서 보여주듯이 상위 4비트가 '1110'이고, 나머지 4비트는 NOP, CLS, CMA, CMC, ASL 및 ASR의 명령들을 구분한다.

### 2.3.4 CPU의 간접번지 지정방식

Full-Address 명령에서 첫 4 비트가 '1'이면 이 명령에서의 번지는 오퍼란드의 간접번지 지정을 표시한다. 간접번지 지정방식은 메모리로부터 8비트의 옵세트를 받아들이기 위해 12비트의 번지를 사용한다. 간접번지의 페이지번호를 갖는 이 옵세트는 명령의 실제 오퍼란드의 완전한 번지를 만든다. <Fig.3>은 Parwan의 간접번지의 예를 보여준다. 여기서 실제 오퍼란드는 6:1F의 18이다.

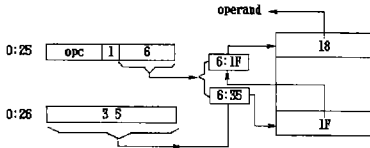


그림.3 CPU Parwan의 간접번지 지정의 예  
Fig.3 An example for indirect addressing in Parwan

## 3. Behavioral 수준의 기술

여기에서는 8비트의 시스템을 Behavioral 수준으로 기술하고 있으며, 반면에 시스템의 상호연결을 위한 기술은 외부 제어신호와 메모리를 위한 비트들과 databus를 사용하고 있는 하드웨어 수준에서 이루어진다.

### 3.1 타이밍과 클럭킹

Behavioral 수준에서의 기술의 상호연결에는 사용되지 않는 클럭 신호들도 포함되어있고, 이 신호들은 실제적인 칩과 dataflow 모델에는 사용되나, Behavioral 모델의 타이밍은 클럭과는 무관하고, 실제적인 칩클럭과 정확히 일치하지 않을 수도 있다. 이런 타이밍은 메모리를 R/W할 때 Behavioral 모델에도 도입된다.

### 3.2 Description Package

이 Parwan CPU에 사용되는 패키지들의 기술은 CMOS 설계 라이브러리에 있으므로 필요에 따라 불러 사용한다. Behavioral 수준에서 CPU를 기술할 때는 basic\_utility 패키지를 사

용한다. 그리고 하나의 par\_library는 CPU를 기술할 때 요구되는 유틸리티들을 포함하고 있다.

#### 3.2.1 par\_utility Package

par\_library 기술에 나타나는 2개의 패키지 중 첫 번째 것은 par\_utility이고 다양한 종류와 함수선언을 하고있는 이 패키지는 CMOS 라이브러리의 basic\_utility 패키지를 사용한다.

여기에서 4, 8, 12 qit길이의 nibble, byte 및 twelve는 각각 qit\_vector, wired\_nibble, wired\_byte 및 wired\_twelve로서 basic\_utility 패키지의 Wiring(Oring) 함수를 사용하여 qit\_vector가 찾아진다. par\_utility 패키지내의 논리함수는 qit\_vector 오퍼란드를 위해 대응하는 함수를 basic\_utility 패키지내로 로드한다. 그리고 basic\_utility는 qit 형식의 오퍼란드를 위해 함수들을 갖는 기본적인 연산자를 로드한다고 가정하면 된다. par\_utility 패키지의 add\_cv와 sub\_cv 등의 함수는 덧셈과 뺄셈을 수행한다.

#### 3.2.2 par\_parameter Package

par\_library의 또 다른 하나의 패키지는 par\_parameter이다. 여기서는 Opcode들의 비트 스트링과 명령의 그룹들을 기술하여 정의한다.

Behavioral 기술의 상호연결은 CPU의 전체적인 구성에 따라 기술된다. CPU속으로 들어가는 입력들의 선언부는 형식이 qit, qit\_vector 또는 그에 부응하는 신호들을 사용한다. 따라서 여기서는 CPU의 상호연결 기술을 먼저 해야한다.

이 기술은 CMOS 라이브러리의 basic\_utility 패키지와 par\_library 패키지의 par\_utility와 par\_parameter를 사용하고 있다. 여기서 규정하는 것은 메모리 R/W 타이밍과 사이클 타임들이고, 또한 CPU 입출력에 관련된 양방향 데이터 버스를 규정하고 있다. 이 데이터 버스는 basic\_utilities 패키지의 출력함수를 연결할 때 사용하는 신호이다.

### 3.3 CPU의 Behavioral 수준의 아키텍처

CPU의 Behavioral 기술은 명령실행의 처리와 과정으로부터 시스템을 모델화하여 제시했다. 이 모델의 기능은 Dataflow와 게이트 수준이어서 실제적인 하드웨어로 기술된다.

par\_central\_processing\_unit의 Behavioral 아키텍처의 전반적인 기술한 다음에는 임시 변수와 버퍼를 선언하며, 인터럽트 입력이 '1'이면 실행되는 코드를 기술한다. 바이트 1 변수가 이 바이트에 어떻게 저장되는지를 기술하고 메모리의 첫 번째 바이트가 읽혀져 데이터 버스에 연결된 후, 다음 명령을 읽을 준비를 하는 동작을 기술한다.

Behavioral 기술에서는 명령의 첫 번째 바이트를 읽은 후, 1개의 메모리 바이트만을 사용하는 명령들을 찾아낸다. 이 명령들을 위해 Single 바이트 명령의 코드가 실행된다. 이 코드는 CLA, CMA, CMC, ASL 및 ASR의 명령 바이트의 (3~0)번 비트를 검사하여 적합한 동작을 수행한다. 2개의 메모리 바이트를 사용하는 명령에서 다른 1바이트는 메모리로부터 읽혀져서 2바이트 변수로 치환된다.

JSR 명령의 실행 코드는 PC의 옴세트부가 서브루틴의 Top에 먼저 기록된다는 것을 보여준다. 그것의 옴세트는 명령의 두 번째 바이트로부터 얻어진 메모리 위치이며, PC의 내용이 이 위치로 전달하면, 서브루틴의 돌아올 번지가 얻어진다.

분기코드 JSR의 실행은 byte 2의 내용을 갖고서 PC의 옴세트부의 조건에 따라 로드하도록 해준다. 여기서 분기동작은 현재 페이지에 대해선 만 이루어진다.

읽어온 2바이트 명령이 JSR 혹은 분기 명령이 아니면, par\_control\_processing\_unit의 Behavioral 아키텍처는 간접번지 지정을 검사하게 된다.

간접번지 지정의 기술에서 페이지 번호가 byte 1의 최하위 nibble에서 만들어지고 그것의 옴세트 byte 2내의 12비트의 번지는 메모리를 지정하기 위해 사용되고, 실제적인 옴세트

를 읽는데 사용된다. 여기서 byte 2의 이전 내용은 새로 읽은 바이트로 대체된다.

Full-Address 명령을 위한 코드는 간접 번지지정에 따라 나온 JMP이고, 그 명령의 실행을 위한 기술에서 보여주는 것처럼 그것은 byte 1과 byte 2로 부터 만들어진 PC의 번지를 로드하면 Full-Address 명령 STA는 byte 1과 byte 2의 최하위 nibble에 의해 만들어진 메모리 번지에 AC를 저장한다.

Full-Address 명령의 마지막 그룹은 LDA, ADD 및 SUB로서 실제 오퍼랜드는 메모리로부터 읽혀져 databus에 연결된다.

CPU의 Behavioral 기술에서 명령의 실행을 위해 적어도 한 사이클 타임이 사용되며, 각 타임에서 하나의 명령이 완전히 실행되고, 3개의 사이클이 요구된다.

## 4. CPU 버스 연결 구조

CPU의 하드웨어 첫 번째 설계단계는 그것의 레지스터와 논리장치의 버스연결 구조를 기술하는 것이다. <Fig.4>는 CPU Parwan의 버스연결 구조를 보여준다. 이 다이어그램은 CPU의 Dataflow를 기술할 때 사용될 수 있다.

### 4.1 CPU 구성요소들의 상호연결

CPU의 주요 하드웨어 구성요소는 AC, IR, PC, MAR, SR, ALU 및 SHU 등이다. 데이터는 버스들을 하드웨어적으로 연결하여 구성요소들 사이에서 전송된다. <Fig.4>는 레지스터와 논리장치의 출력 및 제어신호의 상호연결과 데이터 전송을 위한 고정된 버스 연결을 보여준다. 구성된 CPU의 VLSI 구현은 다중소스 버스에서의 데이터의 선택을 위해 전송 게이트를 사용한다.

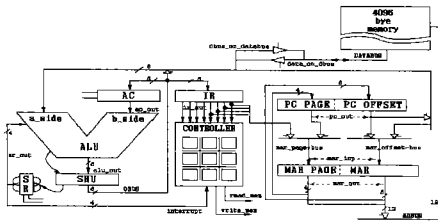


그림.4 Parwan의 버스연결 구조  
Fig.4 Parwan bussing structure

### 4.2 CPU 구성요소

CPU의 구성요소 중 AC, IR, PC 및 SR은 레지스터이고, ALU와 SHU는 조합논리 회로로서 이들은 입출력 세트와 여러 개의 제어라인을 갖는다.

AC는 ALU의 오퍼란드로 제공되는 8비트 레지스터이고, IR은 ALU를 통해 dbus에 연결되며, 제어기에 의해 명령비트를 제공하고, 번지버스에 페이지 번지를 제공한다. 12비트의 PC는 2진 Upcounter이고, MAR을 통해 명령 번지를 번지버스(adbuss)에 제공해 준다. MAR과 PC는 페이지와 오프셋부를 갖기도 한다.

ALU는 2개의 8비트 입력과 4개의 플래그 입력과 3개의 제어입력을 갖는 조합논리회로로서, 이 출력은 8비트 오퍼란드를 갖고서 좌우측 시프트하는 SHU 장치의 입력에 연결되며, 이 ALU와 SHU를 통해 만들어진 상태는 SR의 입력이 된다.

### 4.3 명령의 실행

<Fig.4>의 버스연결 구조는 CPU 명령을 실행하기 위해 필요한 레지스터와 데이터 경로를 보여주고 있다. 제어기는 주어진 명령에 적합한 실행을 시키기 위한 제어신호를 만든다.

이 버스연결구조의 설명을 위해 LDA 명령의 실행과 처리과정을 기술해 보자. 초기에 인출할 명령의 번지를 갖는 PC를 mar\_bus에 실어 MAR로 보내고, 하나 증가시킴으로써 시작한다. 이것이 수행되면 제어기는 MAR을 abus에 실는 read\_mem 신호를 만들어 읽기를 준비한다. 이 동작은 바이트가 메모리로부터

databus에 실리도록 해주며, 제어기는 databus\_ondbus 제어신호를 활성화하여 메모리 출력을 a\_side로 빼내 dbus에 실어 ALU에 보내고, SHU에게 시프트없이 그대로 출력하도록 하여 obus를 통해 IR로 로드한다. 이것을 수행한 후에 IR의 비트에 따라 제어기가 제어신호를 만들어 그에 맞는 동작을 결정하고 지시하여 실행을 시켜준다. 간접 번지지정 방식에서, 제어기는 연산을 수행하기 전에 메모리로부터 번지를 읽도록 한다.

## 5. Dataflow의 기술

3장에서 설명한 Behavioral 기술은 CPU의 정확한 동작을 표현하지는 못하였다. 즉, 이 시스템의 하드웨어 구현을 위해서는 실제 하드웨어에 더 접근한 CPU의 기술을 해야한다. 전반적인 기술은 데이터 레지스터와 논리장치의 구조적 상호동작을 연결하는 것이며, 레지스터들과 버스들을 통하는 데이터의 흐름의 제어를 처리하는 것이다.

### 5.1 데이터와 제어의 동작

<Fig.5>는 CPU Parwan의 Dataflow 기술을 위해 사용하는 데이터와 제어를 구분하여 설명한다. 데이터부는 CPU 구성요소의 연결규칙을 보여주며, 구성요소들과 적합한 버스에 출력을 실어주는 동작을 하게 된다.

제어부는 외부의 제어신호와 데이터부로부터의 신호를 사용하며, 레지스터 속으로 데이터의 조건적 할당과 데이터부의 버스 속으로 데이터의 할당을 제어하는 신호를 만들어 낸다.

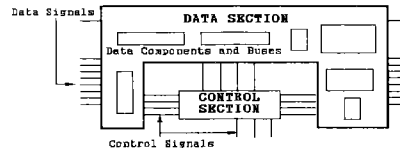


그림.5 Parwan CPU의 데이터와 제어부  
Fig.5 Data and control sections of Parwan CPU

<Table.3>은 데이터부 내의 데이터 이동을 제어하는 제어부에 의해 만들어진 제어신호들을 보여준다. 이 명칭들은 신호에 의해 제어되는 연산에 따라 선택된다.

표.3 제어부의 입출력  
Table.3 Inputs and outputs of Parwan control section.

RELATED TO:	SIGNAL CATEGORY AND NAME
Register control signals	
AC IR PC MAR SR	load_ac, zero_ac load_ir increment_pc, load_page_pc, load_offset_pc, reset_pc load_page_mar, load_offset_mar load_sr, cm_carry_sr
Bus connection control signals	
MAR_BUS DBUS ADBUS DATABUS	pc_on_mar_page_bus, ir_on_mar_page_bus pc_on_mar_offset_bus, dbus_on_mar_offset_bus pc_offset_on_bus, obus_on_dbus, databus_on_dbus mar_on_abus dbus_on_databus
Logig unit function control signals	
SHU ALU	arith_shift_left, arith_shift_right alu_code
Memory control and other external signals	
Etc	read_mem, write_mem, interrupt

### 5.2 데이터의 타이밍과 제어의 처리

데이터부와 제어부는 동일한 클럭신호에 의해 구동되고, 이 클럭 주기 동안 제어부는 상태변이를 일으키고, 데이터부의 레지스터들이 로드된다. <Fig.6>은 회로의 클럭에 관련된 제어신호의 타이밍을 보여준다.

하나의 제어신호가 클럭펄스의 falling-edge에서 활성화되어, 다음 negative-edge 때까지 활성화를 유지한다. 제어신호가 활성화되어 있는 동안 데이터부의 논리장치는 규정된 동작을 수행하며, 그 결과는 목적지 레지스터의 입력에 사용될 수 있게 된다.

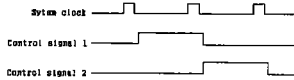


그림.6 제어신호의 타이밍  
Fig.6 Timing of control signals

### 5.3 전반적인 기술의 기반과 순서

CPU Parwan의 기술은 <Fig.5>의 데이터부

와 제어부의 구분에 따라 기술되고, 여기서 버스구조에 따라 그것의 구성요소들을 연결하고 구성요소 출력을 버스에 연결함으로써 데이터부를 기술한다. 데이터부의 완성 후에 상태 머신 기술 형식이 CPU의 제어부의 기술을 위해 사용되며, 전체적인 기술은 데이터부와 제어부를 묶어줌으로써 완성된다.

### 5.4 CPU의 구성요소의 기술

ALU, SHU, SR, IR, AC, PC 및 MAR 등의 데이터부 구성요소들은 주어진 순서를 갖고서 기술된다. CMOS 라이브러리 내의 basic\_utility와 par\_library내의 par\_utilities가 이 구성요소들을 기술하는 데 사용된다. 여기서, 이 구성요소들은 par\_dataflow VHDL 설계 라이브러리로 모아진다.

#### 5.4.1 산술연산 논리장치(ALU)

ALU는 2개의 8비트 오퍼랜드와 3개의 선택선과 4개의 플래그 입출력을 갖는다. 3개의 선택선은 <Table.4>에 근거하여 ALU의 동작을 선택하며, ALU의 연산에 의한 플래그의 변화를 보여준다.

표.4 ALU의 동작과 플래그  
Table.4 Operations and flags of alu.

S2	S1	S0	OPERATION	FLAGS
0	0	0	a AND b	zn
0	0	1	NOT b	zn
1	0	0	a	zn
1	0	1	b PLUS a	vczn
1	1	0	b	zn
1	1	1	b MINUS a	vczn

<Fig.7>은 CPU Parwan의 ALU에 대한 논리심플을 보여준다. 이 ALU를 구현하기 위해 먼저 ALU의 동작의 명칭을 정의하고, ALU 코드를 쉽게 해독하기 위해 이 기술에서는 alu\_operations 패키지가 basic\_utility와 par\_utilities에 사용된다.

CPU의 ALU에 대한 VHDL기술에서 arithmetic\_logic\_unit의 Behavioral 아키텍처에서는 3비트 코드에 근거하여 ALU의 동작이

선택된다.

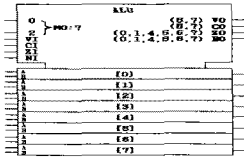


그림.7 Parwan alu.Library cm0s의 논리심볼  
Fig.7 Logic symbol for Parwan alu. Library cm0s;

5.4.2 시프트 장치

캐리비트 및 오버플로 비트 등을 고려하여 좌우 시프트동작을 하여 출력으로 내보낸다. 이 SHU의 기술에서 시프트 연산이 없을 때는 입력 데이터와 플래그가 SHU의 출력으로 바로 나간다.

5.4.3 상태 레지스터(SR)

상태 레지스터는 4비트로서 Negative-edge 트리거와 동기되어 있다. 이것은 플래그로 로드되는 데이터는 load 입력과 cm\_carry 입력에 의해 동기적으로 제어된다.

5.4.4 누산기(AC)

CPU의 AC는 연속적인 로딩과 '0'으로 만드는 입력을 갖는 8비트 레지스터이다. AC는 외부데이터를 레지스터에 로드하는 동작은 load 입력이 활성화되고, zero 입력이 비활성화될 때 클럭의 falling-edge에서 수행된다.

5.4.5 명령 레지스터(IR)

명령 레지스터 IR은 load 입력 신호에 동기된 8비트 레지스터이다. load 입력은 클럭을 활성화하고 클럭 입력의 falling-edge에서 레지스터가 로드되도록 하여 IR의 동작이 기술된다.

5.4.6 프로그램 카운터(PC)

PC는 1개의 레지스터와 2개의 load 입력을

갖는 12비트 동기식 카운터이다. load\_page 입력은 최상위 4개 비트로 입력 데이터를 동기적으로 로드하고 load\_offset은 레지스터의 최하위 8개 비트로 입력 데이터를 로드한다.

5.4.7 메모리 어드레스 레지스터(MAR)

MAR은 2개의 동기된 load 입력을 갖는 12비트 레지스터이다. load\_page 입력은 레지스터의 최상위 nibble로 병렬로 로드되고, load\_offset은 그것의 최하위 바이트로 로드하며, 그것의 동작에 따라 MAR이 기술된다.

5.5 CPU의 데이터부의 기술

CPU의 데이터부는 여러 구성요소들의 상호연결을 규정하고 CPU의 버스연결 구조를 정의한다. 이 장치의 입력들은 데이터버스, 클럭 신호 및 제어부로 부터의 신호들이다. 제어신호들은 데이터부 내의 구성요소들의 동작을 규정하고 그들의 클럭을 제어하여 입력을 데이터 버스에 실도록 해준다. 데이터부의 출력들은 데이터버스와 번지버스에 연결된 것으로 IR의 비트들과 4개의 상태 플래그들이다.

par\_data\_path의 structural 아키텍처의 선언부의 기술은 구성요소들의 규격과 데이터부의 구성요소를 선언하고 있다. 이 선언부는 데이터부의 구성요소들을 연결하기 위한 신호와 버스도 선언하고 있다.

par\_data\_path의 structural 아키텍처의 기술은 구성요소의 초기상태, 신호할당과 연결을 규정하는 기술들이다. 역시 레지스터들의 연결을 기술한 것은 CPU의 레지스터 동작의 준비와 연결을 정하며, 마지막으로 ALU와 SHU의 초기동작을 지시하고 있으며, 이 두 장치들의 연결을 규정하고 있다.

5.6 CPU의 제어부의 기술

CPU Parwan의 제어부의 기술은 정확히 1-클럭주기 동안 활성화되는 선택된 제어신호를 갖는 상태의 변이로 이루어진다. 이 상태머신의 기술에서는 multiple\_state\_machine의 것과

비슷한 형식을 사용한다. 이 CPU 제어기에서, 클럭의 edge 검출은 때 상태에서 반복된다. 여기서 기술한 형식의 하드웨어 구성은 플립플롭이 각각의 상태에 대응하여 이루어진다. <Fig.8>은 실제적인 제어 FF 하드웨어를 보여준다.

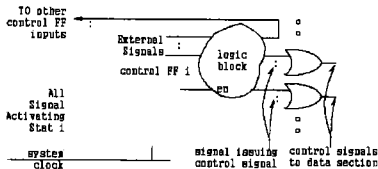


그림.8 제어 FF의 하드웨어

Fig.8 Typical hardware surrounding a control FF

여기서 논리블록의 입력들은 다른 상태 FF와 제어부에서 상태변이에 영향을 주는 외부 입력들로부터 나온 것이며, 논리블록의 출력들은 제어신호가 되고 데이터부에 주어지는 것들이다.

CPU의 제어부의 입력선언은 메모리 읽기와 쓰기 신호들을 위한 지연값을 갖고있고, 데이터부의 ir\_lines에 대한 출력과 데이터부로부터의 상태입력과 외부 메모리 처리와 인터럽트 라인들을 기술한다.

par\_control\_unit의 Dataflow 아키텍처의 선언부의 기술은 제어부의 각각의 제어출력을 위한 예정된 신호들을 선언하고 basic\_utilities 패키지에 있는 Oring 함수를 사용한다.

par\_control\_unit의 Dataflow 아키텍처의 기술에서 신호들은 par\_control\_unit의 실제적인 입력에 들어가고, 이것은 OR 게이트들의 출력을 제어부의 실제 출력으로 연결해준다.

상태 '1'에서 인출동작은 PC를 mar 버스에 실어줌으로써 시작하며, 인터럽트 입력이 활성화되면, PC가 리세트되어 제어는 상태 '1'로 되 돌아온다. CPU가 인터럽트되지 못하면, 상태 '2'가 클럭에서 활성화된다.

그 다음에 data\_bus\_on\_dbus를 사용하여

데이터 버스의 내용을 IR로 전송하도록 ALU의 a\_input로 연결한다. 클럭의 edge에서 제어 상태 '3'이 활성화되고, IR은 새로운 값을 갖게 되며, 다음 클럭에서 PC가 증가하도록 해준다.

상태 '2'에 있을 때 MAR 버스는 상태 '1'에 의해 만들어진 새로운 값을 받아들이며, 이 기술에서 보여주듯이 adbus에 MAR을 싣고, read\_mem을 발생시킴으로써 인출동작을 완료한다.

상태 '3'이 활성화될 때 이 부분의 기술에서 알 수 있듯이 새롭게 읽은 명령은 IR에 오게 된다. 상태 '3'은 메모리로부터 다음 바이트를 읽기 시작한다. 그와 동시에 상태 '3'은 현재의 명령의 바이트 수를 검사하여 2바이트 명령이면, 아래 바이트가 번지가 되고, 제어상태 '4'가 2바이트 명령의 실행을 계속하기 위해 활성화된다. 반면에 현재의 명령이 무번지 명령이고 두 번째 바이트가 필요없다면, 상태 '3'은 명령실행을 한 후에, 다음 명령을 인출하기 위해 상태 '2'를 활성화하게 된다.

상태 '4'는 Full-address나 Page-address 명령이 실행되고 있을 때 활성화된다. 상태 '3'에서, 번지 바이트(명령의 두 번째 바이트)를 읽을 준비가 되면, 상태 '4'의 기술에서 이 읽기 동작을 수행하고 mar의 옵션세부의 입력에서 새로운 바이트를 읽는다.

상태 '4'는 Full-address 명령의 직접 및 간접번지 지정방식을 처리하는 상태 '5'나 '6'을 구동한 다음 각각 JSR이나 BRA 명령에 대한 상태 '7'이나 '9'를 구동한다. 상태 '5'를 구동하는 클럭에서 번지가 MAR에 로드된다.

상태 '5'의 기술은 간접번지 지정방식을 처리하며, 직접번지 지정 모드가 사용될 때 상태 '4'에 의해 구동되는 것과 같이 상태 '6'을 구동한다.

상태 '6'은 JMP, STA, LDA, AND, ADD 및 SUB명령이 실행될 때 구동된다. 이 상태 동안 MAR은 완전한 오퍼랜드의 번지를 기억하고 있다. jm, st 및 rd 명령들을 수행하기 위한 상태의 기술에서는 load\_pc가 MAR의 내용

이 PC로 로드되도록 활성화된다. 이것은 PC에 의해 지정된 메모리 위치로부터 새로운 명령을 인출하기 위한 상태 '2'의 동작에 의해 나온 것이다.

st 블록의 표현은 STA명령의 Opcode가 ir\_lines의 MSB에서 검사되면 활성화되며, rd 블록은 상태 '6'으로 연결되어 LDA, AND, ADD 및 SUB를 처리한다. 여기에서 Full-address 명령의 수행에 따라 제어는 다음 명령 인출을 위해 상태 '1'로 분기한다.

상태 '7'의 기술은 sr의 실행을 계속시켜 PC의 내용을 MAR에 의해 지정된 서브루틴의 Top으로 기억시키고, 그 시간에 PC를 위해 서브루틴의 Top의 번지(MAR의 12비트)를 저장 목적지로 지정한다. 클럭에서 상태 '7'의 다음에 나오는 상태 '8'의 기술은 sr의 실행을 완료하기 위해 활성화된다.

실제적인 서브루틴의 코드는 top\_of\_subroutine후의 위치에서 시작하기 때문에 상태 '8'은 increment\_pc 신호를 만들어내고, 서브루틴의 첫 번째 명령을 인출하기 위해 상태 '1'을 구동한다.

이렇게 되면 제어는 상태 '9'에 도달하고, 그때 상태 '4'가 구동되고, 분기명령이 수행된다. 상태 '9'가 구동될 때 분기번지는 MAR 레지스터에 있다. 상태 '9'는 분기방향(3~0비트)과 상태 레지스터 비트(v,z,s,n 플래그) 사이에서 조건이 만족된다면 MAR을 PC로 로드한다. 분기조건이 만족되지 않으면, PC는 본래 값을 유지한다. PC번지는 분기명령 다음에 나오는 메모리 위치를 지정하므로 제어는 다음 명령을 인출하기 위해 상태 '1'로 되돌아 간다. 모든 수행의 완료 후 par\_control\_unit의 Dataflow 아키텍처에서는 모든 상태에 '0'을 할당한다.

지금까지 CPU 제어기의 Dataflow 기술을 완성했다. 여기서 제시된 기술에 대응하는 회로의 전반적인 도시는 <Fig.9>에 보여진다.

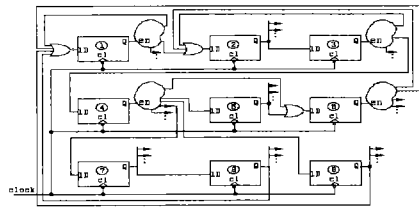


그림.9 Parwan 제어기의 다이어그램  
Fig.9 General outline of the Parwan controller

### 5.7 데이터부와 제어부의 연결 기술

CPU Parwan 프로세서의 완전한 Dataflow 기술은 par\_data\_path와 par\_control\_unit로 구성되어 있다. 이 선언은 인터럽트 처리 기술에서 보여진 것과 비슷하다.

par\_central\_processing\_unit의 Dataflow 아키텍처의 이 기술은 par\_data\_path의 Structural 아키텍처와 par\_control\_unit의 Dataflow 아키텍처의 상호연결을 규정하여 전체적인 윤곽을 보여준다.

## 6. Test-bench를 이용한 시뮬레이션

<Fig.10>은 CPU Parwan의 간단한 Test Bench를 통한 시뮬레이션을 보여준다. 이 시뮬레이션을 위한 기술은 par\_central\_processing\_unit를 시동하고, 그것의 인터럽트와 클럭신호의 파형을 발생시키고, SRAM의 구성을 모델링한다.

```

ARCHITECTURE input_output OF parwan_tester IS
  COMPONENT parwan PORT (clk: IN qit; interrupt: IN qit;
    read_mem, write_mem: OUT qit;
    databus: INOUT wired_byte; adbus: OUT twelve);
  END COMPONENT;
  SIGNAL clock, interrupt, read, write: qit;
  SIGNAL data:wired_byte := "ZZZZZZ"; address: twelve;
  TYPE byte_memory IS ARRAY (INTEGER RANGE <> ) OF byte;
BEGIN
  int: interrupt <= '1','0' AFTER 4500 NS;
  clk: clock <= NOT clock AFTER 1 US WHEN NOW <= 140 US
  ELSE clock;
  cpu: parwan PORT MAP (clock, interrupt, read,
    write, data, address);
  mem: PROCESS -- <Fig 14-8>
    VARIABLE memory: byte_memory (0 DOWNT0 63) :=
      -- (LDA 24, STA 25) (AND 26, ADD 27)
      -- (CAC, ASR, SUB 28) (LDA i 29, JSR 36)
      -- (ASL, NOP, JMP 32) (4H8'0)
      -- (24, 25, 26, 27) (28, 29, 30, 31)
      -- (JMP 18) ( CMA, JMP i 36) (24(H8'0));
    VARIABLE ia: INTEGER;
  BEGIN
    WAIT ON read, write: qit2int(address, ia);
    IF read = '1' THEN
  
```

```

IF ia >= 64 THEN data <= "ZZZZZZZ";
ELSE data <= wired_byte(memory(ia));
END IF;
WAIT UNTIL read = '0';
data <= "ZZZZZZZ";
ELSE write = '1' THEN
IF ia < 64 THEN memory(ia) := byte(data);
END IF;
WAIT UNTIL write = '0';
END IF;
END PROCESS mem;
END input_output;

```

(a) Assembly for Test-bench

```

VARIABLE memory: byte_memory (0 DOWNT0 63) :=
("00000000", "00011000", "10100000", "00011001",
"00100000", "00011010", "01000000", "00011011",
"11100010", "11101001", "01100000", "00011100",
"00010000", "00011011", "11000000", "00100100",
"11101000", "11100000", "10000000", "00100000",
"00000000", "00000000", "00000000", "00000000",
"00001100", "00011111", "00000000", "00000000",
"00001100", "00011111", "00000000", "01011010",
"10000000", "00010010", "00000000", "00000000",
"00000000", "11100010", "10010000", "00101000",
"00000000", "00000000", "00000000", "00000000",
"00000000", "00000000", "00000000", "00000000",
"00000000", "00000000", "00000000", "00000000",
"00000000", "00000000", "00000000", "00000000",
"00000000", "00000000", "00000000", "00000000");

```

(b) Binary code for Assembly

그림.10 간단한 Test-bench

Fig.10 A simple test bench for Parwan behavioral and dataflow descriptions.

parwan\_tester의 input\_output 아키텍처 내에 있는 mem은 CPU의 여러 명령들로 초기화되어 있는 64바이트 배열을 처리하고 있다. 그 처리는 메모리 동작을 수행하기 위해 R/W 신호가 '1'이 될 때를 기다린다. 한 바이트를 읽기 위해 그 처리는 메모리를 인덱스하는 번지 값을 사용하여 메모리로부터 만든 바이트를 data버스에 실어준다.

이 데이터는 read가 '0'이 될 때까지 머무르고, mem 처리는 'z'를 갖고서 데이터선을 구동할 때까지 머무른다. 메모리에 데이터를 저장한 후, write가 활성화될 때 그 처리는 다른 R/W요청을 검사하기에 앞서 write 제어신호의 제거를 기다리게 된다.

<Fig.11>은 CPU의 Behavioral 혹은 Dataflow 기술에 대한 <Fig.9>의 Test bench에서 par\_central\_processing\_unit의 CPU 동작을 묶어주는 선언을 보여준다. 여기서는 par\_central\_processing\_unit의 두 버전을 테스트하기 위해 동일한 아키텍처를 사용하고 있다.

<Fig.11>의 Behavioral과 Dataflow 구성의 시뮬레이션은 CPU Parwan 프로세서의 2개의

기술이 함수적으로 동일하다는 것을 표현하고 있다.

```

CONFIGURATION behavior OF parwan_tester IS
FOR input_output
FOR cpu: parwan
USE ENTITY
behavioral.par_central_processing_unit(behavioral);
END FOR;
END FOR;
END behavior;

```

(a)

```

CONFIGURATION dataflow OF parwan_tester IS
FOR input_output
FOR cpu: parwan
USE ENTITY
par_dataflow.par_central_processing_unit(dataflow);
END FOR;
END FOR;
END dataflow;

```

(b)

그림.11 Parwan Tester의 입출력 구성

(a) par\_central\_processing\_unit의 behavioral 테스트  
(b) Dataflow의 테스트

Fig.11 Configuring input\_output architecture of the Parwan tester. (a) for testing behavioral architecture of the par\_central\_processing\_unit, (b) for testing dataflow architecture of the par\_central\_processing\_unit

여기서는 이 버스연결 구조에서 Dataflow 기술에 근거를 두었다.

<Fig.10>의 테스트 프로그램의 실행을 위한 시뮬레이션 수행은 Parwan CPU의 Behavioral 모델과 Dataflow 모델에 대해서 시뮬레이션하는 데 중점을 두었다. 특히 정확한 시뮬레이션 결과를 얻기 위한 비용은 CPU의 사이즈에 근거를 두고 있었다.

## 7. 결 론

본 연구에서는 VHDL을 이용하여 Parwan SIC를 Behavioral Level에서 기술하고, Dataflow Level에서 상호 연결하였으며, 이와 같은 방법으로 구성된 CPU의 동작과정과 그 결과를 확인하기 위하여 Test-bench를 이용하여 시뮬레이션하였다.

이 과정에서, 시스템이 설계되기 전에 Behavioral Level에서 시스템을 기술할 때

VHDL이 어떻게 사용되는지와 주 설계 판단이 결정된 후 Dataflow Level에서 시스템의 버스연결과 레지스터 구조를 기술할 때 VHDL이 어떻게 사용되는지를 보여 주었으며, 특히 CPU 설계를 완성하기 위해서 CPU Parwan Dataflow 모델에서는 플립플롭과 게이트들의 상호연결은 구성요소 별 기술로 표현하였다.

구현된 프로세서를 시뮬레이션하기 위해서 여기서는 프로세서에서 수행되는 명령어를 제시된 시험체제의 환경하에서 Test-vector를 프로세서에 입력하여 수행하였다. 이렇게 함으로써 동작을 확인할 때 시스템의 수행과정과 특성을 쉽게 파악할 수 있었고, 역시 클럭의 순서에 따른 동작확인이 가능하였다.

결론적으로 본 연구의 VHDL을 이용한 시스템을 설계하고 시뮬레이션하는 방법은 다음과 같은 장점을 얻을 수 있었다.

첫째, 기술한 시스템의 문서를 통해 설계자들 사이 및 설계자와 툴 사이의 정보교환이 용이하였고, 둘째, 설계하고자 하는 하드웨어가 어떻게 동작하는지의 표현이 정확하고 간결하였다. 셋째, 특히 하드웨어 기술방식이 형식화되어 있어서 설계와 동시에 문서화하는 것이 가능하였으며, 넷째, test\_bench를 이용하였기 때문에 시뮬레이션하기가 쉽고 간결하였다.

결론적으로 위에서 설명한 것을 근거로 볼 때 복잡한 하드웨어 설계의 문서를 간결화 함으로써 설계과정의 다양한 결정을 용이하게 할 수 있도록 해줄 것으로 보았기 때문에 본 연구는 산업체에서 IC소자의 설계 및 개발과 연구 및 교육기관에서의 연구와 학생들의 교육에 많은 도움이 될 것으로 보여진다.

## 참고문헌

- [1] Y.Chu, "Structure of CDL programs", Dep. computer science. Univ. Maryland, Tech. no.1 pp.74-58, May 1974.
- [2] J.R.Duley and D.L.Dietmeyer,

"Translation of a DDL digital system specification to boolean equation", IEEE Trans. on computers vol. C-18, pp.305-313, 1970.

[3] S.J.Piats, "HDL: A comprehensive H/W design language", Proc. of the 17th Hawaii International conference on system science 1984, vol. 2, Jan. 1984.

[4] R.E.Swanson, Z.Navabi and F.J.Hill, "An AHPL compiler/simulator system", In Proc. sixth Texas conf. computer system., pp.1-11, 1977.

[5] R.D.Acosta, S.P.Smoth and J.Larson, "Mixed mode simulation of compiled VHDL programs", In Proc. Int. Conf. Computer-Aided Design, pp.180-183, Santa Clara, Nov. 1989.

[6] R.Lipsett, C.Schaefer and C.Ussery, "VHDL: Hardware Description and Design", Kluwer Academic Pub., Norwel, Massachusetts, 1989

[7] Z.Navabi, "VHDL: Analysis and modeling of digital systems", McGraw-Hill, 1994.

[8] Y.C.Hsu, K.F.Tsai, J.T.Liu and E.S.Lin, "VHDL modeling for digital design synthesis", Toppan Kluwer.

[9] 박두열, "APL을 이용한 소형명령 컴퓨터의 설계와 시뮬레이션에 관한 연구", 동아대학교 박사학위논문, 1989.

[10] 박두열, "HDL을 이용한 파이프라인 프로세서의 테스트 벡터구현에 의한 시뮬레이션", 한국OA학회 논문지, 제5권 제3호, pp.16-28, 2000, 9.

[11] 박두열, "VHDL을 이용한 PARWAN CPU의 Modeling과 Design", 한국OA학회 논문지, 제7권 제2호, pp.19-33, 2002, 6.

박두열



1980.2.: 동아대학교 공과대학  
전자공학과 졸업

1982.2.: 동아대학교 대학원 공학석사

1989.8.: 동아대학교 대학원 공학박사

1985.3~ : 동주대학 교수 재직

관심분야: · Computer H/W Descriptions.

· Computer Visions.

· Multimedia contents.

Email: [dypark@dongju.ac.kr](mailto:dypark@dongju.ac.kr)

HP: 011-863-1471